

## ФОТОТЕРМИЧЕСКИЙ ЭФФЕКТ В ПОЛУПРОВОДНИКЕ В ПОЛЕ ПЕРЕМЕННОЙ ДЕФОРМАЦИИ

Сандомирский В. Б., Федорова М. Б., Филатов А. Л.

Предложена новая модификация фототермического эффекта (ФТЭ) в полупроводнике с использованием постоянной интенсивности греющего света. Модулированный сигнал создается за счет взаимодействия фотоносителей с переменной деформацией. Получены теоретические частотные зависимости ФТЭ, которые принципиально отличаются от обычных. Дано качественное объяснение результатов.

**1. Введение.** В стандартных реализациях фототермического эффекта (ФТЭ) [1] применяют «греющий» свет с модулируемой интенсивностью и измеряют синхронно возникающий переменный отклик. Переменный отклик можно получить и при постоянной интенсивности света, модулируя другое внешнее поле, которое, взаимодействуя с электронной подсистемой полупроводника, приведет к появлению источников тепла или смещения с пространственно-временной дисперсией. Например, если в полупроводнике создать переменную деформацию, то вследствие акустоэлектронного взаимодействия фотоносители будут перераспределяться в пространстве и во времени и возникнут переменный ФТЭ и «вторичный» фотоакустический эффект (ФАЭ).

Основные сведения о характеристиках полупроводника можно извлечь из частотных зависимостей ФТЭ и ФАЭ [2], которые в обсуждаемой реализации могут оказаться отличными от обычных. Далее, для сильно поглощаемого света, используемого при исследовании полупроводников, в обычном ФТЭ имеется большой вклад от термализующихся фотоносителей, который является «паразитным», так как не содержит «рекомбинационного тепла» и, следовательно, маскирует информацию о кинетических параметрах носителей тока. При постоянной интенсивности света и переменной деформации с частотами  $\omega \tau_t \ll 1$  ( $\tau_t$  — время термализации) переменный сигнал будет возникать только от термализованных носителей, т. е. указанный паразитный вклад будет отсутствовать. Представляется также полезным анализ новых возможных реализаций ФТЭ и ФАЭ.

**2. Постановка задачи.** Пусть на пластину биполярного  $n$ -полупроводника ( $0 \leq x \leq d$ ) падает свет постоянной интенсивности  $I_0$ , который поглощается на фронтальной поверхности  $x=0$ ; энергия квантов света  $E_0 > E_g$  — ширины запрещенной зоны. В полупроводнике существует переменная деформация

$$Q = A \sin kx e^{-i\omega t}, \quad (1)$$

где  $A$ ,  $k$ ,  $\omega$  — эе амплитуда, волновой вектор и частота;  $\omega = V_s k$ ,  $V_s$  — скорость звука в полупроводнике.

Полупроводник будем рассматривать в приближении электронейтральности [3]. Тогда концентрация фотодырок после «мгновенной» термализации распределена в пространстве по закону

$$P = \frac{I_0 \tau}{E_0 L (1 + \sigma)} e^{-x/L}, \quad (2)$$

где  $\tau$  — рекомбинационное время жизни носителей,  $L$  — амбиполярная диффузионная длина,  $\sigma = S\tau/L$ ,  $S$  — скорость поверхностной рекомбинации.

Под ФТЭ будем понимать изменение температуры на фронтальной поверхности  $T(0)$ , под ФАЭ — ее смещение  $U(0)$ . Последняя величина рассматривается для «полноты картины», так как ее экспериментальное выделение на фоне большого «затравочного» смещения, по-видимому, затруднительно.

Для решения задачи надо решить систему из трех уравнений: уравнения непрерывности для дырок, уравнения теплопроводности и уравнения упругости.

Уравнение непрерывности с учетом электрон-фононного взаимодействия на потенциале деформации имеет вид

$$\frac{\partial P}{\partial t} = -\frac{1}{e} \frac{\partial j_p}{\partial x} - \frac{P - P_0}{\tau}, \quad (3)$$

где  $e$  — элементарный заряд,  $P_0$  — темновая концентрация дырок, которой в дальнейшем пренебрегается, ток дырок

$$j_p = -eD \frac{\partial P}{\partial x} - \frac{\sigma_n \sigma_p}{e(\sigma_n + \sigma_p)} E_{1g} \frac{\partial^2 U}{\partial x^2}. \quad (4)$$

Здесь  $D$  — амбиполярный коэффициент диффузии,  $\sigma_n$ ,  $\sigma_p$  — темновые электронная и дырочная проводимости,  $E_{1g} = E_{1n} - E_{1p}$  — разность потенциалов деформации для электронов и дырок. Смещение  $U(x, t)$  состоит из заданного смещения, вызванного деформацией  $Q(x, t)$ , и смещения, обусловленного термоупругим эффектом и прямым электрон-фононным взаимодействием. Это вторичное смещение оказывается малым по определенному параметру (см. далее), и поэтому в (3) полагается  $\partial^2 U / \partial x^2 \approx \partial Q / \partial x$ .

Считается также, что  $d/L \gg 1$  и  $d/l_r \gg 1$ , где  $l_r = \sqrt{2\chi/\omega}$  — длина тепловой волны,  $\chi$  — температуропроводность образца. Поэтому граничные условия к уравнению (3) такие:

$$D \frac{\partial P}{\partial x} - \mu P \frac{E_{1g}}{e} \frac{\partial Q}{\partial x} \Big|_{x=0} = SP(0) + \frac{I_0}{E_0}, \quad (3.1)$$

$$P(d=0). \quad (3.2)$$

Здесь  $\mu$  — амбиполярная подвижность.

Уравнение теплопроводности (для изменения температуры) имеет вид

$$c\rho \frac{\partial T}{\partial t} = \kappa \frac{\partial^2 T}{\partial x^2} + E_g \frac{P}{\tau}, \quad (5)$$

где  $c$ ,  $\rho$ ,  $\kappa$  — теплоемкость, плотность и теплопроводность полупроводника.

Границные условия к уравнению (5)

$$-\kappa \frac{\partial T}{\partial x} \Big|_{x=0} = SE_g P(0) + I_0 \frac{E_0 - E_g}{E_0}. \quad (5.1)$$

$$T(d=0). \quad (5.2)$$

Второй член в правой части (5) — модулированный в пространстве и во времени тепловой источник, который следует найти из решения уравнения (3).

Уравнение упругости для индуцированного смещения

$$\frac{1}{V_s^2} \frac{\partial^2 U}{\partial t^2} - \frac{\partial^2 U}{\partial x^2} = -\beta_r \frac{\partial T}{\partial x} + \frac{E_{1g}}{\Lambda} \frac{\partial P}{\partial x}, \quad (6)$$

где  $\beta_r$  — коэффициент теплового расширения,  $\Lambda$  — модуль упругости полупроводника.

Границные условия к (6)

$$\frac{\partial U}{\partial x} - \beta_r T + \frac{E_{1g}}{\Lambda} P \Big|_{x=0} = 0, \quad (6.1)$$

т. е. поверхность  $x=0$  считается свободной.

Выбор деформации в виде (1) требует выполнения условия  $kd \ll 1$ , но так как  $d/L \gg 1$ , то и  $kL \ll 1$ .

Уравнения (3)–(6) обезразмериваются с использованием следующих масштабных единиц и коэффициентов:

$$\begin{aligned} t &= \tau, \quad \bar{x} = L, \quad \bar{w} = \frac{\bar{u}}{\tau}, \quad \bar{k} = \frac{1}{L}; \quad \Omega = \frac{V_{\text{ст}}}{L}, \quad \frac{\Omega_0}{2} = \frac{\chi}{D}; \quad b = \frac{E_{1g}}{E_g} \frac{c}{V_{\text{ст}}^2}; \\ R &= A \frac{E_{1g}}{k_B T_0}; \quad V = \frac{P}{\bar{P}}; \quad \Theta = \frac{T}{\bar{T}}; \quad \bar{P} = R \frac{I_0}{E_0 V, (1+\sigma)}; \quad \bar{T} = -i \frac{2}{\Omega_0} \frac{E_g}{c\rho} \bar{P}. \end{aligned} \quad (7)$$

Здесь  $k_B$  — постоянная Больцмана,  $T_0$  — температура окружающей среды.

«Возмущением» в системе уравнений (3)–(6) является фактически второй член в выражении (4) для тока дырок, т. е. акустоэлектронный ток увлечения. В обезразмеренном уравнении (3) этот член  $\sim R$ . Это и есть малый параметр, о котором говорилось выше. Действительно, при значениях  $A \simeq 10^{-5}$ – $10^{-4}$ ,  $E_{1g} \simeq 1$ – $10$  эВ,  $k_B T_0 \simeq 10^{-2}$  эВ  $R \simeq 10^{-3}$ – $10^{-1}$ . Соответственно можно искать решения (3)–(6) в первом неисчезающем приближении по степеням  $R$ .

Все особенности ФТЭ и ФАЭ связаны с видом источника в уравнении непрерывности для дырок, которое в оговоренных приближениях и введенных обозначениях принимает вид

$$\frac{\partial V}{\partial t} = \frac{\partial^2 V}{\partial x^2} - \omega e^{-x-i\omega t}. \quad (8)$$

(Здесь безразмерные аргументы и параметры обозначены прежними «размерными» символами). С точки зрения обычного ФТЭ второй член в правой части (8) описывает источник света, который освещает фронтальную поверхность полупроводника, его интенсивность модулирована с частотой  $\omega$ , растет по величине  $\sim \omega$  и имеет коэффициент поглощения  $1/L$  [см. (7)].

Решая (8), находим

$$\begin{aligned} V(x, t) &= V(x) e^{-i\omega t}, \\ V(x) &= i \left( e^{-x} - \frac{\lambda^2 + \sigma}{\lambda + \sigma} e^{-\lambda x} \right). \end{aligned} \quad (9)$$

### 3. ФТЭ. Выражение для ФТЭ имеет вид

$$\Theta(0) = -\frac{i}{\eta} \left[ \frac{1}{1+\eta} - \frac{\lambda^2 + \sigma}{(\lambda + \sigma)(\lambda - \eta)} - \frac{\sigma\lambda(\lambda - 1)}{\lambda + \sigma} \right], \quad (10)$$

где  $\eta = (-2i\omega/\Omega_0)^{1/2}$  — «обратная тепловая длина»,  $\lambda^2 = 1 - i\omega$ . При  $\sigma = 0$  имеем

$$\Theta(0) = \frac{\lambda - 1}{i(1 + \eta)(\lambda + \eta)}. \quad (10.1)$$

Из анализа (10) и численного расчета следует, что при  $\sigma \gg 1$

$$\Theta(0) \simeq \frac{\sigma\lambda(\lambda - 1)}{\eta(\lambda + \sigma)}. \quad (10.2)$$

Наконец, из (10) при  $\sigma \ll 1$  разложением в ряд по  $\sigma$  получаем

$$\Theta(0) = \frac{\lambda - 1}{(1 + \eta)(\lambda + \eta)} + \frac{\lambda - 1}{\eta} \left[ 1 - \frac{1}{\lambda(\lambda + \eta)} \right]^\sigma. \quad (10.3)$$

На рис. 1 и 2 изображены частотные зависимости  $|\Theta(0)|$ , рассчитанные по формулам (10). Особенности этих графиков по сравнению со стандартным ФТЭ: 1) рост ФТЭ с частотой в области низких частот и выход на насыщение при больших частотах и  $\sigma \neq 0$ ; 2) при  $\sigma \ll 1$   $|\Theta(0)| - \omega$  имеет максимум при  $\omega \simeq 1$ .

Объясним качественно эти зависимости.

Пусть  $\sigma=0$ . Для интерпретации следует понять «устройство» источника переменной температуры. Им является переменная концентрация носителей, связанная с влиянием звуковой волны. Согласно уравнению (9), для концентрации фотоносителей этот источник на низких частотах выглядит так:  $|V| \sim e^{-\omega}$ . Этот источник действует на области  $\sim L/|\lambda| \simeq L$  (в безразмерных величинах  $\simeq 1$ ). Тогда характеристическая температура на низких частотах определяется уравнением теплового баланса  $|\Theta| = |V|$ . Таким образом, на низких частотах следует ожидать  $|\Theta| \sim \omega$ .

При больших частотах в правой части уравнения теплопроводности можно оставить только источники. Тогда имеем  $|\Theta(0)| \simeq |V(0)|/\omega \sim 1/\sqrt{\omega}$ ,

что в точности совпадает с асимптотической выражения (10.1).

Пусть  $\sigma \ll 1$ . Тогда, как следует из (10.3) и (10.1), отличие от случая  $\sigma=0$  есть только при  $\omega \gg 1$ . Соответственно только в этой области частот и проин-

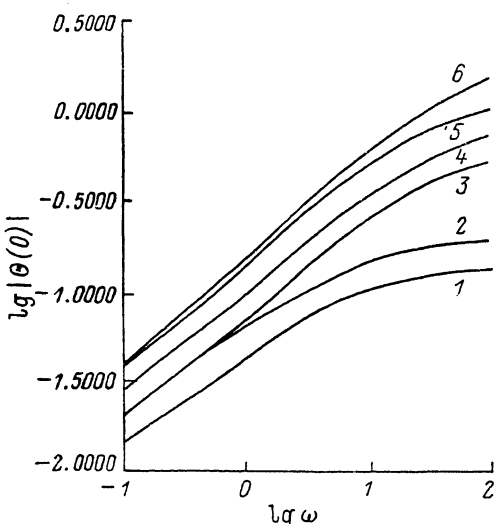


Рис. 1. Частотная зависимость ФТЭ.  
 $\sigma$ : 1, 2 — 1; 3—5 — 5; 6 — 10.  $\Omega_0$ : 1, 3 — 0.05;  
 2, 4 — 0.1; 5, 6 — 0.2.

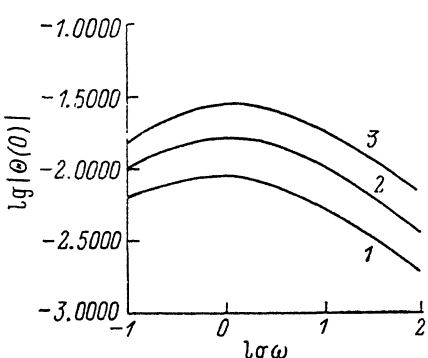


Рис. 2. Частотная зависимость ФТЭ при  $\sigma=0$ .  
 $\Omega_0$ : 1 — 0.05, 2 — 0.1, 3 — 0.2.

тегрируем отклик. При  $\sigma \neq 0$  существуют два модулирующих источника: объемный  $V(x)$  и поверхностный  $\partial\Theta/\partial x = \sigma\lambda(1-\lambda)/\lambda + \sigma$  — модулированный тепловой поток через поверхность  $x=0$ . В силу линейности уравнений результирующая температура есть сумма от обоих источников. Поверхностный источник при  $\omega \gg 1$  имеет вид  $\partial\Theta/\partial x = \sigma\lambda \sim \sigma\omega^{1/2}$ . Тогда для этого источника уравнение теплового баланса дает (за период  $1/\omega$ )

$$\sigma\omega^{1/2} \frac{1}{\omega} = \frac{1}{\eta} \Theta \rightarrow \Theta = \sigma\Omega_0^{1/2}.$$

Таким образом, при  $\omega \gg 1$   $\Theta$  достигает насыщения. Этот результат в точности соответствует асимптотикам выражений (10) при  $\omega \gg 1$ .

Обсудим теперь, какие величины можно определить из измерений ФТЭ.

В случае  $\sigma \ll 1$  частотная зависимость имеет максимум:  $\omega_m = 1/\tau$ . В области низких частот  $d | T(0) | / d\omega \sim D\tau/\chi$ ; при  $\omega \gg 1$   $|T(0)| \omega^{1/2} \sim \chi/D$ .

При  $\sigma \gg 1$  частотная зависимость монотонная и достигает насыщения при  $\omega \gg 1$ . В области низких частот  $d | T(0) | / d\omega^{1/2} \sim D/S$ ; в области высоких частот  $|T(0)| \sim D^{1/2}$ .

Оценка величины ФТЭ при условиях  $I_0 = 1$  Вт/см<sup>2</sup>,  $\Omega_0 \simeq 0.1$ ,  $\Omega = 10^2$ ,  $S \simeq 10^3$  см/с,  $c_p \simeq 1$  кал/К·см<sup>-3</sup>,  $\omega \simeq 1$  дает  $|T(0)| \simeq 10^{-5} - 10^{-7}$  К.

4. ФАЭ. Для этого отклика опишем результаты только качественно. Оказывается, что ФАЭ существует при  $\sigma \neq 0$ . Физически это очевидно. Источники переменного смещения поверхности — переменная температура и переменная концентрация носителей, вызванные заданной переменной деформацией. Так как смещение поверхности «собирается» на всей длине образца, то для него имеет значение лишь «суммарный» источник. Поскольку звуковая волна только

перераспределяет носители и тепло, не изменяя их суммы по всей длине образца, добавка к смещению в случае  $\sigma=0$  не появляется.

При  $\sigma \neq 0$  картина несколько изменяется. Появляются поверхностный источник тепла (действующий на тепловой длине) и источник, связанный с концентрацией носителей (действующий на диффузионной длине), которые нельзя скомпенсировать суммированием по всей длине образца, поэтому появляется ненулевая добавка к смещению.

Поскольку смещение поверхности собирается от смещения всех точек образца, оно определяется максимальной характерной длиной: на низких частотах — тепловым источником, а на высоких — нетепловым.

### Л и т е р а т у р а

- [1] Rosencwaig A. Photoacoustics and Photoacoustics Spectroscopy. Chem. Analysis / Ed by P. F. Elving, F. P. Winerfordner, F. M. Kolthoff. N. Y., 1980, v. 57, p. 403.
- [2] Васильев А. Н., Сабличков В. А., Сандомирский В. Б. — Изв. вузов СССР, Физика, 1987, № 6, с. 119—131.
- [3] Сабличков В. А., Сандомирский В. Б. — ФТП, 1983, т. 17, в. 1, с. 81—86.

Институт радиотехники и электроники  
АН СССР  
Москва

Получена 20.06.1988  
Принята к печати 2.08.1988